河南祁雨沟爆发角砾岩型金矿床金的富集规律

宝 E 德

(河北地盾学院。宣化)

祁雨沟隐蔽爆发一坍塌角砾岩型金矿床,是 我 国近年发现的新类 型矿床。文中总结了该矿床的时空分布、围岩蚀变、角砾岩及胶结物 性质、载金矿物、自然金的形成特征和富集规律。 指 出 金 的 沉 淀富 集,是在矿液降温、稀释作用以及由弱酸性向弱碱性转变的条件下发 生的。

关键词:河南省,祁雨沟金矿,隐蔽爆发一坍塌角砾岩型矿床, 金的富集规律

祁雨沟金矿是以隐蔽爆发一坍塌角砾岩 型为主,包括同源、同期、不同成矿空间产 出的破碎带蚀变岩型和石英脉型的多型一体 金矿床。它是我国近年发现并肯定的新矿床 类型。目前在河南嵩县西北部已发现同类角 砾岩体30多个,其中大一中型矿床1个,小 型矿床多个。 搞 清 该 类型矿床金的富集规 律,借以评价众多岩体的含金性,提供找矿 标志, 无疑是重要的。

矿区地质概况

矿区位于华北准地台南缘豫淮台褶带熊 耳断坳与秦岭地槽北缘的交界 处, 属 于 康 山一上宫一祁雨沟金多金属成矿带的东端。

区内广泛发育太古界太华群中、下段, 相当于区域石板沟组,次为中元古界熊耳群 张合庙组(图1), 二者均为含金角砾岩体 的主要围岩。 太 华 群 主要为黑云斜长片麻 岩、角闪斜长片麻岩; 次为呈1~2m厚夹层 或透镜体产出的混合岩类和斜长角闪岩。熊 耳群主要由变安山岩、大斑晶变安山玢岩和 变杏仁状安山岩组成。

在区域上, 矿区位于陶村-王庄背形 褶皱东南端; 构造以断裂为主, 有北西、北 东、北北东向3组。北西向断裂规模较大, 最先形成, 先后经历过挤压-拉长-挤压作 用。它控制了区域和矿区范围的角砾岩体, 使其成群成带分布, 是一组导矿、控矿断 裂。北东向断裂形成略晚, 规模较小, 但在 矿区内很发育; 它对角砾岩体和构造蚀变岩 型金矿控制明显,尤其是与北西向断裂交汇 处;它是一组具有多期活动特征的控矿、容 矿构造。北北东向断裂为成矿后的构造。

区内岩浆活动频繁,自前加里东至燕山 期都有活动。燕山中晚期钙碱性、中酸性岩 浆侵入规模大而强烈, 形成区域上与金矿有 物源联系的花山花岗岩基和广泛分布的中酸 性一酸性岩脉、岩株。同时, 伴随有岩浆一 热流体隐蔽爆发一坍塌作用形成的角砾岩体 群和角砾岩型金矿床。

角砾岩体及其矿化特征

矿区内共有7个角砾岩体(编号J₁~J₆、 J。), 呈北西-南东向带状分布于北西 向 和 北东向断裂交汇处及其近旁,略具等距性。 据现有工程控制, J2、J1、J5和J6角砾岩体 内均有工业矿体产出, J。岩体已构成大一中 型金矿床。角砾岩体在平面上多呈纺锤状和

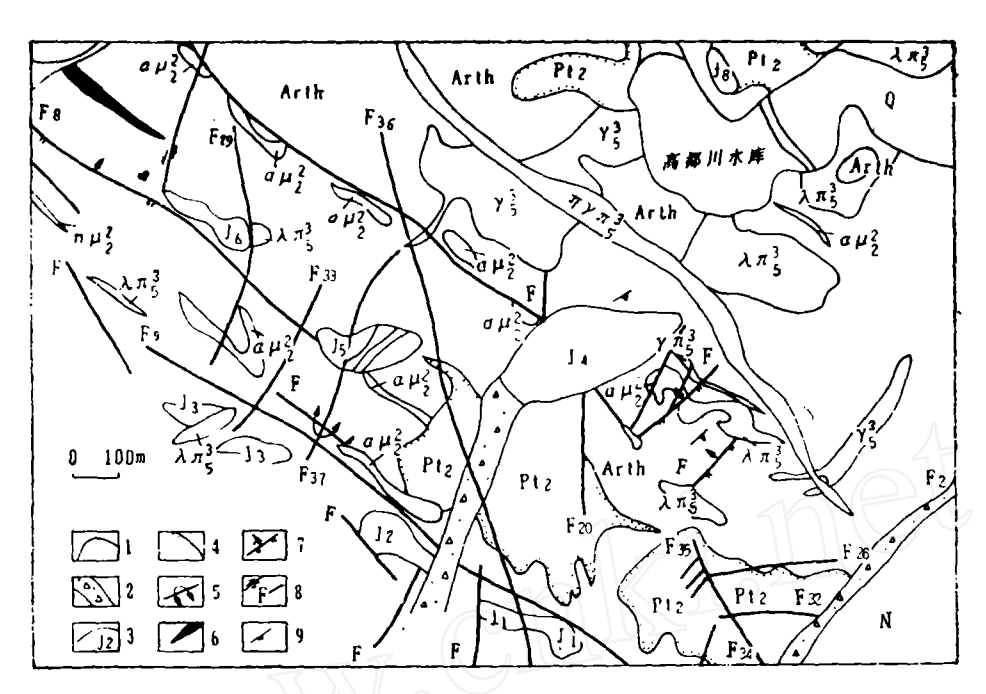


图 1 祁两沟矿区地质略图

Q—第四系,N—第三系, Pt_2 —熊耳群,Arth—太华群, $\eta\gamma\pi_5^3$ —角闪二长花岗斑岩, γ_5^3 —黑云母花岗 岩, λπ3--石英斑岩, γπ3--花岗斑岩, αμ3--变安山玢岩, 1-角砾岩体及其编号, 2-构造破碎带, 3一实测地质界线,4一角度不整合界线,5一歪斜褶皱,6一背形轴迹,7一逆断层,8一平移及性质不明 断层; 9一片麻理产状

深部有变小的趋势。 角砾岩体与围岩界线清 楚, 多呈陡立锯齿状, 局部形成数至数十米 的震碎带。单个岩体出露面积为0.001~ 0.048km²,

角砾成分主要是角砾岩体顶盖的变安山 岩类、片麻岩类围岩和少量石英斑岩、正长 班岩等。角砾大小不均,大者3~5m,小者 0.5cm (<0.5cm为岩屑晶屑胶结物)。斑岩 类角砾较小(一般0.5~30cm)。 角砾 以棱 角状、次棱角状为主,尖棱角状和浑圆状次 之。

胶结物含量一般为5~10%,局部为10~ 20%。按胶结物的成分和形成方式,可分为 岩屑晶屑型、蚀变矿物型和矿质型。岩屑成 分与角砾对应; 晶屑主要残留于早期蚀变矿 物之中。按主要蚀变矿物种类可将蚀变矿物 型胶结物分为:石英黑云母型、石英正长石

不规则长条状,空间上以陡倾筒状为主,向型、方解石和绿帘石绿钙(钠)闪石型。矿 质型胶结物主要为黄铁矿、黄铜矿、方铅矿 等金属硫化物团块或细脉充填于角砾之间, 分布极不均匀。

> 热液蚀变和矿化主要局限于 角 砾 岩 体 内, 在围岩中表现微弱, 主要类型有: 石英 化、正长石化、绿帘石化、绢云母化、钠长 石化、黑云母化、绿钙(钠)闪石化、方解 石化和绿泥石化等。具较明显的中心式面型 蚀变分带,水平分带见图2;垂直分带自上 而下为: 青磐岩化带→石英黑云母化带→石 英正长石化带→石英正长石绿钙(钠)闪石 化带。

> 金矿体受角砾岩体控制,平面上呈椭圆 状、长条状和不规则状; 剖面上呈透镜状、 哑铃状或条带状(图3)。走 向长数十至数 百米,厚度一般<10m。品位很不均匀。每 个角砾岩体可产数至十数个矿体。

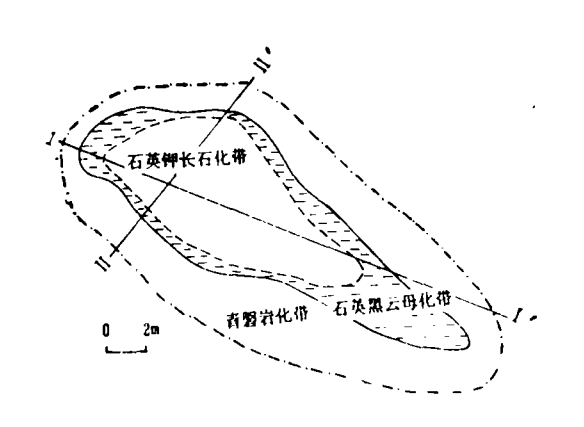


图 2 引导角砾岩体蚀变水平分带 (标高583m)

主要金属矿物有自然金、银金矿、黄铁 矿、黄铜矿、方铅矿、闪锌矿、辉钼矿等, 矿化晚期出现数量少而品种多的铋硫盐矿物 和铋的碲化物矿物。矿物共生组合可分为: ①石英一黄铁矿;②黄铁矿一辉钼矿;③石 英一黑云母—黄铁矿; ④石英一多金属硫化 物;⑤石英—正长石—多金属硫化物;⑥石 英-绿钙(钠)闪石-多金属硫化物;⑦石 英一方解石一黄铁矿; ⑧外生铜铁氧化物和 硫化物等。每一组合中可有数至数十种共生 矿物。工业矿体主要由④、⑤、⑥和③类型 组成。

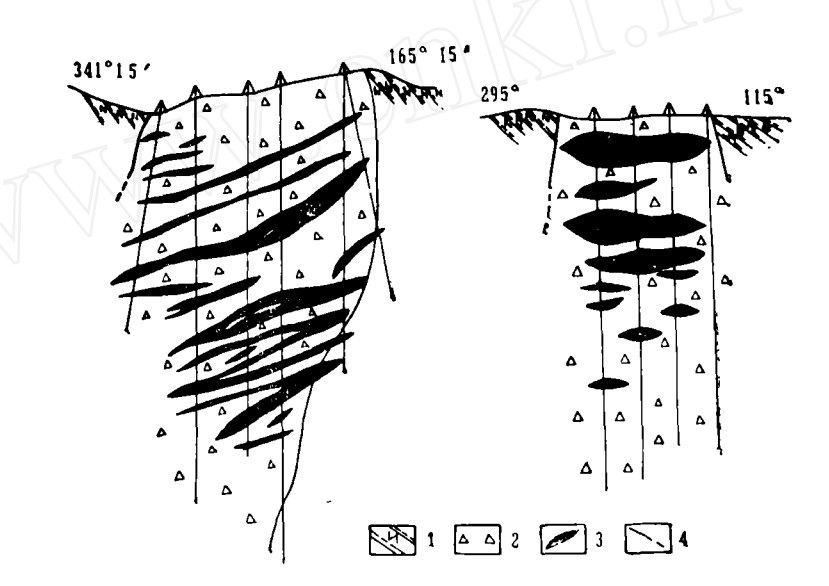


图 3 J、(左)和J。(右)角砾岩体中矿体形态剖面图 1-- 片麻岩, 2-- 角砾岩, 3--金矿体, 4-- 推测或实测角砾岩体界线

金的成矿富集规律

1. 空间分布规律

据工程控制、采场观察和金品位变化趋 势图(图4)分析,矿体主要赋存于岩体中 心(J₄、J₆)或中心偏西北(J₂); 在垂向 上主要集中在岩体中或中上部 (标高300~ 600m), 即热液上侵前缘和角砾岩体隐爆中 心。一般说来, 角砾岩筒由陡变缓和开阔膨 大部位金矿化好。如15号角砾岩体, 地表向 南倾,深部向北倾,岩体向南突出,其下形 成工业矿体。J₄号角砾岩体500~400m标高 间, 岩体由陡变缓, 在转折部位集中了矿床 中多数矿体。

从矿石构造来看, 角砾岩体中心为团块 状和稠密浸染状, 向外过渡为稀疏浸染状。 矿体含脉率逐渐降低, 脉幅由大变小, 矿化 强度减弱,反映了矿化由中心向四周扩散、 渗滤。



图 4 J₂号角砾岩体583m中段一次趋势剩余值(左)与金含量(右)等值线图

2. 时间富集特征

区域地质和同位素分析表明,本区角砾 **岩体和金矿床的形成与燕山中晚期花岗质岩** 繁活动有关, 形成时间为125~112Ma。热 被蚀变矿物正长石钾 鼠 法 年龄 为120.75士 1.75 Ma.

可将本矿床成矿过程划分为3个岩浆期 后热液蚀变成矿期、7个成矿阶段,即:① **前锋蚀变成矿期**, A.石英一黄铁 矿 阶 段, B.黄铁矿一辉钼矿阶段, C.石英一黑云母-黄铁矿阶段; ②主体蚀变成矿期, D.石英-多金属硫化物阶段, E. 石英-正长石-多金 属硫化物阶段, F. 石英一绿钙(钠)闪石— 多金属硫化物阶段; ③晚期蚀变成矿期, G.石英一方解石一黄铁矿阶 段。"前锋"期 是热液成矿作用的开始, 形 成 少 量包裹体 金、伴随有石英化、钠长石化和黑云母化、 产出以黄铁矿为主,少量辉钼矿、黄铜矿、 磁黄铁矿等高温矿物组合。矿化主要限于角 砾岩体内部, 呈细脉、浸染状。进入"主 体"期,伴随强烈的隐爆坍塌作用,使前锋 期形成的脉状矿化被破坏, 形成大量角砾, 金矿化达到高潮。 特 别 是 D、E两个成矿阶 段,自然金以粒间金和包裹体金、裂隙金形 式产出,并出现大量明金。与此同时,形成 中温硫化矿物组合。蚀变以裂隙充填交代石 英化为主,矿化以团块状、稠密浸染状和浸 染状为特征。该成矿期矿液活动集中在岩体 中部上下,为主要工业矿体。 晚 期 矿 化微 **掘。 偶 见少量自然金的{110}晶形产出,可** 能为早期金溶解再结晶而成。

3. 角砾岩体内部构造与金的富集特征

构造活动与金的富集关系十分明显。从 宏观上看,角砾岩体本身就是构造一岩浆活 动的产物,受北西、北东向断裂复合控制。 角砾岩体内部, 金矿化的富集主要与角砾间 隙、节理裂隙的发育程度有关。

在角砾岩体中心部位, 由于隐爆坍塌作 用最强烈,角砾间隙特别发育,产生良好的 成矿空间,有利干含矿热液的运移和沉淀。 加之角砾岩体的多次余爆和热液的多次充填 交代,使蚀变和矿化更加发育,形成富含大 量明金的团块状和稠密浸染状矿石。同时, 角砾岩体坍塌压实或冷凝收缩作用,产生横 向裂隙,使矿体呈近水平或缓倾斜的规模不 一的扁豆状、囊状和条带状产出。

在岩体边部,金矿化主要集中在节理、 裂隙和小断裂带内。对12岩体近矿围岩的裂 隙产状统计(剔除成矿后裂隙), 并作极点 赤平投影 (图5), 可见典型的环状和放射 状节理、裂隙; 特别是其交叉和膨大部位, 常充填含明金较多的石英一正长石一多金属 硫化物和石英-黄铁矿细脉。镜下发现,单 粒金多数为粒间金和裂隙金,表明矿物颗粒 间及其本身的微裂隙也是自然金沉淀聚积的 良好部位。

4. 角砾与胶结物特征对金的富集作用

自角砾岩体中心向外, 角砾由小变大; 形态由浑圆、 次 浑 圆 过渡为次棱角、棱角 状; 胶结物由多变少。不同标高的角砾岩亦 有分带。 J2号 角 砾岩583m标高自中心向外 为。以变安山岩类为主的角砾岩带→复成分

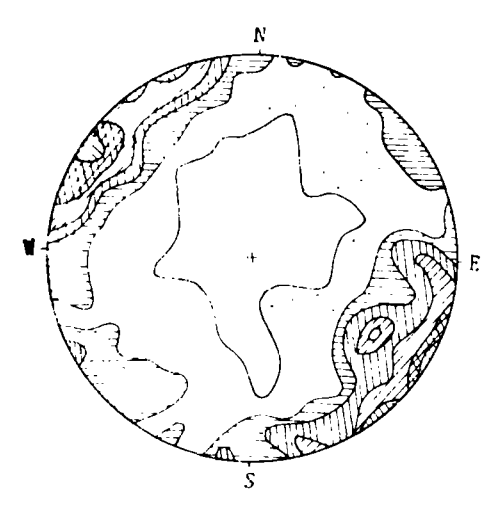


图 5 3。号角砾岩体外围放射状节理 赤平投影图

(据422条节理, 等值线, 1-2-3-4-5-6%) 角砾岩带→以片麻岩类为主的角砾岩带。在 垂直方向上, 自上而下为以变安山岩类为主 的角砾岩带→片麻岩类为主的角砾岩带→复 成分角砾岩带。 在 角 砾 岩体中部, 由于隐 爆一坍塌作用产生一种流化作用,携带角砾 向上运移,角砾相互碰撞摩擦和高热流体的 熔蚀, 使其趋于圆化。 岩 筒 中 心运移速度 快,加之坍塌和多次余爆,构成复成分角 砾岩; 角砾多呈次棱角状、浑圆状。此处角 砾较小, 间隙十分发育, 有利于矿液运移和 充填交代,使金富集。自然金均赋存于胶结 物中或角砾边缘(含量几至几十g/t),而角 砾内部, 因 岩 性致密矿化极弱(Au一般< 0.01g/t).

此外,不同成分的角砾,由于岩石化学 成分和机械性质不同, 蚀变和矿化也有差 异。一般变安山岩类、斜长角闪岩类角砾易 于黑云母化、 绿 泥 石 化和黄铁矿化; 正长 (斑) 岩角砾易产生微裂隙形成细脉浸染状 黄铁矿化, 金矿化也相对富集。

5. 热液蚀变与金的富集特征

金矿化贯穿于热液蚀变成 矿 过 程,因 此,矿化的强弱和发育范围无不与蚀变的强 强、空间位置有密切联系。从时间上分为3

个蚀变成矿期,即:①前锋成矿期,其蚀变 以钠长石化、硅化为主,少量黑云母化和正 长石化的面型蚀变,形成以浸染状为主的黄 铁矿及少量辉钼矿等,偶见显微包裹体金, 主要赋存在黄铁矿中。②主体成矿期, 其蚀 变主要反映了富含硅、钾及挥发份的矿液, 从偏酸性向中偏碱性演变的 过 程。 其 间, 随强烈的石英、正长石之析出,金的浓度增 加而活度降低, 金及金属硫化物大量析出, 在前锋期蚀变矿化的基础上,形成矿化富集 带和工业矿体。金不仅依附于金属硫化物载 体(以黄铁矿为主),且大量以他形粒状明 金包容于正长石、石英或其晶粒间隙和裂隙 中。金矿化与硅化, 尤其是与正长石化关系 密切。③晚期成矿期,其蚀变主要发育方解 石化、绿泥石化、绿帘石化及萤石化, 以团 块状、晶洞状、脉状产出、明金罕见。从总体 看,矿化与蚀变作用反映在空间上的紧密联 系, 金矿化富集带、工业矿体主要赋存于石 英正长石化带及其与石英黑云母化带的交接 部位。其中石英化、钾长石化及多金属硫化 物呈团块或密脉处, 矿化更佳。石英黑云母 化带内矿化一般减弱, 但 在 黄 铁矿化发育 处, 金矿化仍较富集。青磐岩化带矿化大大 减弱。

6. 自然金特征及其富集状态

本矿床金矿物多为肉眼可 见 金, 其 中 95%为自然金, 5%为银金矿。 据 肉 眼 及 镜下对近 3000 颗自然金的粒度统 计, 粒径 0.001~0.2mm者占33%, 0.2~0.5mm者占 48%, >0.5mm者约占19%, 最大达7mm。 说明金形成于高浓度、高温、缓冷却和充分 的空间条件。

晶形以他形粒状及不规则枝 叉 状 为 主 (约占70%), 其次为{100}、{100}+{111}、 {111} (约占20%)和片状(约占10%),并偶 见{100}歪晶。主体成矿期含矿溶液浓度高, 金大量以粒度较粗的{111} 及 {111} + {100} 晶形产出。矿化晚期,由于浓度降低或对早

结晶的金溶解(蚀)再结晶,局部形成{110}及 {100}自形晶。 自然金的晶形还随空间部位 和矿化强度变化而改变。一般说,自角砾岩 体的顶部向下, 晶形分带为 {100}、{110}→ $\{111\}$ 、 $\{100\}$ + $\{111\}$ 、 $\{100\}$ → $\{111\}$ 及 {111} + {100}。 {111}及 {111} + {100} 晶形 大量出现的部位,可指示富矿地段的存在。

在整个矿化过程中, 早 期 晶 出的自然 金,以包裹体为主,随热液中金的浓度增 高,到主体成矿期,金矿化增强,粒间金占 优势,并出现裂隙金。粒间金形态受其赋存 的粒间空隙的形态和大小制约。 当 空 隙 大 时,晶体发育完整,可见{111}+{100}、 {100}、{111}三种晶形;当粒间空隙小而不规 则时,金则以不规则粒状或枝叉状产出。裂隙 金多沿黄铁矿、石英、正长石等矿物的微裂 隙充填交代,形态不规则,与共生矿物相间 断续出现。据测定,包裹体金、粒间金的成 色要高于裂隙金。至矿化晚期,热液性质发 生很大变化,溶液交代作用不仅使早期结晶 金的形态不规则化,并使金活化转移,局部 相对集中,形成粗粒{110}自形晶。

7. 金在其载体矿物黄铁矿中的富集特 征

由本区几种主要载体矿物金含量(见附 表)可见,金的载体矿物首推黄铁矿,它是 整个矿化过程的贯通矿物, 其 微量金 含 量 为各种矿物之首(19个样品平均值为 49.2ppm)。基于金的亲硫性和亲铁性、黄 铁矿化发育之处,多为金的富集部位。从时 间上看, 3个成矿期和7个成矿阶段均有黄 铁矿产出,但金的含量却明显不同,藉以反映 各时期含矿溶液的浓度和矿化强度。前锋期 黄铁矿(I)中,金含量为10.13ppm,说明 此时溶液中含金甚少,故只能形成少量包裹 体金; 主体成矿期黄铁矿(Ⅱ), 金含量最 高可达400ppm, 平均63.34ppm, 致使大量 明金产出, 富集成矿; 成矿晚期黄铁矿(Ⅱ) 含金15.2ppm, 反映出矿液中金几近耗竭, 明金已很少见,矿化明显减弱。此外,在同 一成矿阶段不同晶型的黄铁矿中, 金含量也 不同, 如石英正长石-多金属硫化物阶段 {111} + {100} 黄铁矿含金 量可达238.5ppm, 而{100}者仅7.6ppm。同时由于黄铁矿含金 量变化,还会引起比重、反射率、硬度等物理 性质的改变。一般比重随含金量的增加而加 大, 反射率和硬度则相反。

8. 金富集的物理化学条件

硫、氧、铅同位素研究表明, 本区金矿 成矿物质主要来自燕山期壳幔层钙碱性花岗 质岩浆,在岩浆侵位、分异演化,尤其是在岩 浆作用晚期分散在岩浆熔体中的Au、 Ag、 Mo、Cu、Pb等金属元素向流体中聚集。 通 过与自然金形成关系最密切的黄铁矿、石英 及少量方解石、萤石包裹体测温及其成矿物 理化学条件研究表明:

前锋成矿期含矿热流体处于高温状态, T≈433~331℃, P≈1~1.7kb, 呈弱酸性

J	りをおける	「同性变矿	物中元素	含量表	(ppm)

矿物	样数	Au	Ag	Мо	As	Cu	Рь	Zn	Co	Ni
钠长石	1	15.30	0.00	3.50	216.5	41.00	31.00	31.00	0.00	51.00
黄铁矿(I)	3	10.13	22.10	21.55	36.38	111.33	151.67	52.33	359.67	101.8
钾长石	1	8.30	1.15		_	20.00	-	7.00	3.00	_
黄铁矿(Ⅱ)	15	63.34	20.24	0.84	37.57	1853.21	842.79	73.20	378.56	294.3
黄铁矿 (皿)	1 1	15.20	30.00	_	_	132.00	-	_	140.00	85.00
绿钙 (钠) 闪石	2	4.96	0.50	0.40	13.00	355.50	25.00	148.00	12.00	37.00
绿帘石	2	2.60	0.00	0.80	22.90	7.00	36.00	47.00	7.00	7.00

(pH=6.75), Eh=-0.83, 具较高的 Cl⁻、F⁻、SO²-和Na⁺、K⁺、Ca²⁺、Mg²⁺及盐 度和矿化度。此时形成一套较高温热液蚀变矿物及少量自然金组合。从该期石英包裹体富含Cl⁻(127.89g/L)及SO²-(118.73g/L)推断,前锋期金的迁移主要以AuCl⁻和AuS⁻形式,其间少量包裹体金的析出,可能是由于前锋期开始向主成矿期过渡时的 压力略降、Cl⁻、SO²-浓度降低引起的。

主成矿 期 $T \approx 380 \sim 320 \, \text{℃}$, $P \approx 1 \, \text{kb}$, pH = 6.37, Eh = -0.63, 盐度与矿化度较 前锋期大为降低,Na⁺≪K⁺,且Cl⁻、SO²⁻ 活度大大降低 (分別为 0.65和 0.08g/L), Cu⁺、Pb²⁺等金属离子骤增。该期产出一套 以石英、正长石、黄铁矿、方铅矿及少量闪 锌矿组合,同时析出大量自然金。根据该期 石英包裹体中以黄铁矿、石盐为主的多相子 晶并存及大量硫化物产出等事实,并结合成 矿温 度、pH值及CIT, SOLT离子含量变化 特征, 推测当时金的迁移可能仍以AuCl^T和 AuS⁻两种形式并存, 随 压力和温度的不断 下降, 部分天水的稀释和pH值由弱酸向弱 碱转变,破坏了氯、硫络合物。氯可能形成 HCl逸散,而硫则与Cu⁺、Pb²⁺、Fe²⁺等组 成金属硫化物析出, 使 自 然 金以粒间金为 主, 充填在晶体之间的晶隙或裂隙之中。

成矿晚期, $T \approx 272 \sim 174 \, ^{\circ} \, \text{C}, \, \text{K}^{+} \, \text{Na}^{+} \, \text{Ca}^{2+} \, \text{Mg}^{2+} \, \text{CI}^{-} \, \text{K}^{-} \, \text{D}$ 化度和盐度近一步降低, H_2O 、 CO_2 大增(分别为2114.12和218.9ppm)。碳、氧同位素研究表明,有大量天水加入,溶 液 已转为弱碱性 (pH=7.08)。 CO_2 随 天水的大量加入而导致方解

石的大量形成,并形成一套与之相应的方解 石、石英、黄铁矿及少量紫(绿)色萤石、 绿泥石等典型低温矿物组合。到此,金矿化 几近乎全部结束。

结论

综上所述,本区金矿床的富集特征,基本遵循于一般热液矿床的成矿规律,但又具自己的特色:

- 1. 金矿化空间上主要集中在角砾岩体的中上部(标高300~600m), 成矿时间主要集中在主体成矿期(120.75±1.75Ma), 尤其是石英一多金属硫化物阶段和石英正长石一多金属硫化物阶段。
- 2. 角砾岩体受北西及北东向断裂构造 复合控制,角砾岩体内部金矿化主要受角砾 间隙、节理裂隙发育程度控制。
- 3. 角砾较小、成分复杂,且胶结物发育处往往是金的富集地段。
- 4. 金矿化与石英化、正长石化关系最为密切,工业矿体主要集中在石英正长石化带及其与石英黑云母化带交接部位。
- 5. 金以{111}及{111}+ {100} 晶形产 出部位,可指示富矿部位。
- 6. 黄铁矿发育处往往是金 的 富 集 部 位。
- 7. 金的沉淀富集, 主要因矿液的降温、减压、稀释及PH值的由弱酸向弱碱性转变等物理化学条件的变化而产生。

本文在《祁雨沟地区爆发角砾岩型金矿 地质条件及找矿方向》研究的基础上写成;在 撰写中承邵克忠先生审阅并修改,谨致谢意。

Enrichment Regularity of Gold in the Qiyugou Explosive Breccia Type Gold Deposits, Henan Province

Wang Baode

The Qiyugou crypto-explosive-Collapse breccia type gold deposits belong to a new type discovered in recent years in our country. In this paper a summary is given on time-spacial distribution, wall rock alteration, breccia and cementation substance, structure, carrier minerals of gold, ore-forming and enrichment regularity of native gold. It is believed that the deposition and concentration of gold are happened mainly under the conditions of temperature fall, diluting effect, and the transition from weak acidity to weak alkalinity.